

中央大学理工学部 正会員 林 泰造  
同 大学院 学生員 ○尾崎幸男

**1. まえがき：** 河床安定理論としての立場から、不定流の基本式を用いて河床に与えた微小擾乱の増幅即ち河床の不安定性について解析した結果、河床はいかなる波長の微小擾乱に対しても常に不安定となつた。この原因として考えられるのは、河床に与えた微小擾乱に対する他の水理量のカツ位相差である。河床の不安定性のため水流が蛇行し、ついには河川が蛇行すると考えられる。ここでは、さらに蛇行の卓越波長を求める実験値との比較を行なつた。

**2. 基本方程式：** 断面は広矩形断面とし、静水圧分布を仮定し、さらに鉛直面内の速度変化を無視すれば、基本式は次のようになる。

$$\frac{1}{g} \left( \frac{\partial U}{\partial t} + U \frac{\partial U}{\partial x} + V \frac{\partial U}{\partial y} \right) = I_0 - \frac{\partial h}{\partial x} - \frac{\partial Z}{\partial x} - \frac{T_0}{gZ} \quad \dots \dots \dots (1)$$

$$\frac{\partial}{\partial x} (UZ) + \frac{\partial}{\partial y} (VZ) + \frac{\partial Z}{\partial t} = 0 \quad \dots \dots \dots (3)$$

$$\frac{\partial}{\partial x} (Ux) + \frac{\partial}{\partial y} (Vx) + (1-n) \frac{\partial h}{\partial t} = 0 \quad \dots \dots \dots (4)$$

ここに、 $T_0$ ：河床に働く剪断力、 $\gamma$ ：Kの単位体積重量、

$q_{sx}$ ：x方向への流砂量、 $q_{sy}$ ：y方向への流砂量、 $n$ ：空隙率。

(1)～(4)式中にある未知量は、 $U$ 、 $V$ 、 $h$ 、 $Z$ 、 $T_0$ 、 $q_{sx}$ 、 $q_{sy}$  の7個である。従ってあと3個の式が必要となり、それを次のようくしてとる。

$$\frac{T_0}{gZ} = \frac{U^2}{gZ(6.0 + 2.5 \ln \frac{D}{k})^2} \quad \dots \dots \dots (5)$$

$$\text{ここで、 } \frac{q_{sx}}{g} = \frac{q_{sx} \cdot S}{\sqrt{g(S-1)} \cdot F \cdot d^{3/2}}, \quad F = \sqrt{\frac{2}{3} + \frac{36 D^2}{g d^3 (S-1)}} - \sqrt{\frac{36 D^2}{g d^3 (S-1)}}, \quad d: 砂の粒径,$$

$F$ ：水の動粘性係数、 $S$ ：砂の比重、 $D = \frac{T_0}{g q_{sx} d}$ 、 $k$ ：相当粗度。

(5)～(7)式を(1)～(4)式に代入し、 $h = h'$ 、 $Z = D + z'$ 、 $U = U_0 + u'$ 、 $V = v'$  と置き、さらに座標軸、時間並びに微小変動量(プライムの付いた量)を以下のようにして無次元化すると(8)～(11)式が得られる。

[無次元化] 座標軸:  $\xi = \frac{x}{D}$ ,  $\eta = \frac{y}{D}$ ,  $\zeta = \frac{z}{D}$ , 時間:  $\tau = \frac{t \cdot U_0}{D}$ ,

変動量:  $u'_r = \frac{u'}{U_0}$ ,  $v'_r = \frac{v'}{U_0}$ ,  $h'_r = \frac{h'}{D}$ ,  $z'_r = \frac{z'}{D}$ .

$$F_r^2 \left( \frac{\partial u'_r}{\partial \xi} + \frac{\partial v'_r}{\partial \eta} \right) = - \frac{\partial h'_r}{\partial \xi} - \frac{\partial z'_r}{\partial \xi} - I_0 [2u'_r - (1+A_1)z'_r] \quad \dots \dots \dots (8)$$

$$\frac{\partial u'_r}{\partial \xi} + \frac{\partial z'_r}{\partial \xi} + \frac{\partial v'_r}{\partial \eta} + \frac{\partial z'_r}{\partial \eta} = 0 \quad \dots \dots \dots (10)$$

$$2F_r f'(\xi_r) \frac{\partial u'_r}{\partial \xi} - A_1 F_r f'(\xi_r) \frac{\partial z'_r}{\partial \xi} + f'(\xi_r) \frac{\partial v'_r}{\partial \eta} + A_2 \frac{\partial h'_r}{\partial \xi} = 0 \quad \dots \dots \dots (11)$$

$$\text{ここで, } F_r = \frac{U_0}{\sqrt{g D}}, \quad \frac{U_0}{\sqrt{g D}} = 6.0 + 2.5 \ln \frac{D}{k}, \quad A_1 = 5.0 \frac{\sqrt{I_0}}{F_r},$$

$$A_2 = \frac{(1-n) T_0 D \cdot S}{\sqrt{g(S-1)} \cdot F \cdot d^{3/2}}, \quad T_0 = \frac{D \cdot I_0}{(s-1)d}, \quad f'(\xi_r) = \frac{df}{d\xi}.$$

**3. 微小変動量の仮定：** 河床に与える擾乱を  $h_r = h_0(\eta) \exp[i k_r (\xi - C_r \tau)]$  とすれば、

他の微小変動量は  $h'_r$  に対してある位相差を持つであろうと考え、それら  $z'_r$ ,  $u'_r$ ,

$v'_r$  を  $z'_r = Z_0(\eta) \exp[i k_r (\xi - C_r \tau) + i \phi_z]$ ,  $u'_r = U_0(\eta) \exp[i k_r (\xi - C_r \tau) + i \phi_u]$ ,  $v'_r = V_0(\eta) \exp[i k_r (\xi - C_r \tau) + i \phi_v]$  のように仮定する。

但し、 $h_0$ ,  $Z_0$ ,  $U_0$ ,  $V_0$  は  $\eta$  についての函数で  $\zeta$  方向への位相差を含む。又、 $k_r = \frac{2\pi D}{\lambda}$ : 無次元波数、

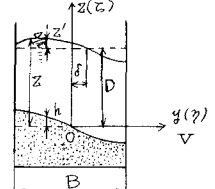
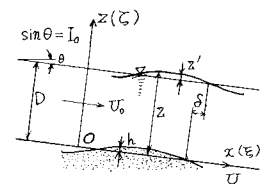
$$C_r = \frac{C}{U_0} = C_{r0} + i C_{r1}: 無次元複素波速, 常,  $C_r$ :  $\zeta$  方向の位相差,  $i = \sqrt{-1}$ .$$

これら2つの微小変動量を(8)～(11)式に代入して(12)～(15)式を得る。

$$iX_0 + \{i - (1+A_1)\}X_1 + \{iF_r^2(1-C_r) + 2\frac{I_0}{F_r}\}X_2 = 0 \quad \dots \dots \dots (12)$$

$$(1-C_r) \cdot X_1 + X_2 = \frac{i}{F_r} X_3' \quad \dots \dots \dots (14), \quad -A_2 C_r X_0 - A_1 F_r f'(\xi_r) X_1 + 2Z_0 f'(\xi_r) X_2 = \frac{i}{F_r} f'(\xi_r) X_3' \quad \dots \dots \dots (15).$$

$$\text{ここで, } X_0 = h_0, \quad X_0' = \frac{dh_0}{d\eta}, \quad X_1 = Z_0 e^{i\phi_z}, \quad X_1' = \frac{dZ_0}{d\eta}, \quad X_2 = U_0 e^{i\phi_u}, \quad (X_2' = \frac{dU_0}{d\eta}), \quad X_3 = V_0 e^{i\phi_v}, \quad X_3' = \frac{dV_0}{d\eta}.$$



$I_0$ : 平衡状態に於ける

水面勾配

$\delta$ : 位相差

$U_0$ : 平均流速

$U$ :  $x$  方向の流速

$V$ :  $y$  方向の流速

$D$ : 平均水深

$Z$ : 場所的水深

$z'$ : 水面変動

$h$ : 河床に与える擾乱

$B$ : 河川幅

$G_r \ll 1$  と考へて (12), (14), (15) 式から  $x_0, x_1$  を求めると,

$$x_0 = \frac{\Delta_0}{\Delta} = \lambda_1 \cdot x_3', \quad x_1 = \frac{\Delta_1}{\Delta} = \lambda_2 \cdot x_3' \cdots \cdots (16)$$

(16) 式を (13) 式に代入して

$$x_3'' + \lambda_3 \cdot x_3 = 0 \quad F_r^2 s - v_0'' + \lambda_3 \cdot v_0 = 0 \cdots \cdots (17)$$

$$\text{ここで}, \quad v_0'' = \frac{d^2 v_0}{dx^2}.$$

$$\lambda_3 = \frac{k_r f_i F_r^2 + \frac{I_o}{k_r}}{\lambda_1 + \lambda_2} = \frac{k_r^2 i F_r^2 + \frac{I_o}{k_r} \{(3+A_1) A_2 \frac{I_o}{F_r} C_r + i \{(F_r^2 - 1) A_2 C_r + (2+A_1) T_{0r} f(T_{0r})\}\}}{-A_1 F_r^2 C_r + F_r^2 f(T_{0r}) + A_1 T_{0r} f(T_{0r}) - \frac{I_o}{k_r} \{(3+A_1) f(T_{0r}) - 2 T_{0r} f(T_{0r}) - 2 A_2 C_r\}} \cdots \cdots (18)$$

(17) 式の境界条件:  $\eta = \pm \frac{B}{2D}$  において  $v_0 = 0$  のときに解くと,  $\Delta_1 = \frac{i}{k_r} x_3'$

(このためには  $R_0 \lambda_3 > 0$ ,  $I_m \lambda_3 = 0$  となる必要がある。)

$$v_0 = v \cos \sqrt{\lambda_3} \eta = v \cos \frac{m \pi D}{B} \eta \cdots \cdots (19) \quad (m=1, 3, \dots), \quad (19) \text{式から } \lambda_3 = \left(\frac{m \pi D}{B}\right)^2 = k_r^2 \lambda \cdots \cdots (20).$$

(20) 式及び  $C_r = C_{RR} + i C_{RI}$  を (18) 式に代入して整理すると (21) 式が得られる。

$$a_{11} C_{RR} + a_{12} C_{RI} = b_1, \quad a_{21} C_{RR} + a_{22} C_{RI} = b_2 \cdots \cdots \cdots (21).$$

$$\text{但し}, \quad a_{11} = -a_{22} = \lambda A_2 F_r^2 \{1 + \frac{3+A_1}{\lambda F_r^2} \left( \frac{I_o}{k_r} \right)^2 - \frac{F_r^2 - 1}{\lambda}\}, \quad a_{12} = a_{21} = 2 \lambda A_2 \frac{I_o}{F_r} \{1 - \frac{1}{2} \frac{(4+A_1) F_r^2}{\lambda} + \frac{1}{2 \lambda}\},$$

$$b_1 = \lambda F_r^2 \{f(T_{0r}) + A_1 T_{0r} f(T_{0r}) + (2+A_1) F_r^2 T_{0r} f(T_{0r})\}, \quad b_2 = \lambda \frac{I_o}{k_r} \{(3+A_1) f(T_{0r}) - 2 T_{0r} f(T_{0r}) + (2+A_1) \frac{I_o}{F_r} T_{0r} f(T_{0r})\}.$$

**4. 河床の安定・不安定:** 河床の安定は  $G_r < 0$  で与えられる。 $(C_{RI} = 0 \text{ のときには中立。})$  そこで (21) 式から  $C_{RI}$  を求めて河床の安定性を検討しよう。式の簡単化のために次の 3 個の仮定を設ける。

$$\frac{3 F_r^2}{\lambda} \ll 1, \quad \frac{2}{\lambda A_1} \ll 1, \quad \frac{3+A_1}{\lambda F_r^2} \left( \frac{I_o}{k_r} \right)^2 \ll 1 \quad (A_1 \text{ は 1.0 前後の値をとる。})$$

以上の仮定の下に  $C_{RI}$  は (22) 式のようく表わすことが出来る。

$$C_{RI} = \frac{a_{12} b_1 - a_{11} b_2}{a_{11}^2 + a_{12}^2} = \frac{1+A_1}{A_2} \{2 T_{0r} f(T_{0r}) - f(T_{0r})\} \frac{I_o}{F_r^2} - \frac{\frac{1}{k_r}}{1 + \left( \frac{2 I_o}{F_r^2} \frac{1}{k_r} \right)^2} \cdots \cdots (22)$$

ここで  $f(T_{0r}) = 40 T_{0r}^3$  なる関係式を代入すると  $C_{RI} = \frac{200(1+A_1) T_{0r}^3}{A_2 F_r^2} \frac{I_o}{F_r^2} - \frac{\frac{1}{k_r}}{1 + \left( \frac{2 I_o}{F_r^2} \frac{1}{k_r} \right)^2}$ . となり  $C_{RI}$  は常に正即ち河床はいからなる波長の微小擾乱に対しても不安定となることを示す。

**5. 卓越蛇行波長と実験値との比較:**  $C_{RI}$  の値を最大にするような波長の河床変動が車越すと想えて、 $C_{RI}$  を極大にする無次元化した蛇行波長  $\frac{L}{D}$  を  $\frac{d(C_{RI})}{d(\frac{L}{D})} = 0$  の条件から求めると  $I_o \frac{1}{k_r} = \frac{F_r^2}{2}$  となりこれから  $\frac{1}{k_r} = \frac{L}{2 \pi D}$  を代入して  $\frac{L I_o}{D} = \pi F_r^2 \cdots \cdots (23)$  が得られる。(23) 式と実験値とを比較したのが下の図である。

ここに,  $L$ : 卓越蛇行波長,  $D$ : 平均水深,  $I_o$ : 平衡状態における水面勾配,  $F_r$ : フルード数。

#### 参考文献:

- Hansen, E.: On the formation of meanders as a stability problem, Basic Research Progress Report No. 13 Hydraulik Laboratory, Technical University of Denmark, 1967.
- Callander, R.A.: Instability and river channels, Journal of Fluid Mechanics, Vol. 36, part 3, 1969.
- Rouse, H.: Engineering Hydraulics, John Wiley & Sons, pp. 786-804, 1949.
- Chang, H.Y., Simons, D.B. and Woolhiser, D.A.: Flume experiments on alternating bar formation, Journal of Waterway, Port, and Harbor Division, Proc. ASCE, Feb. 1971, pp. 155-165.
- 木下製作: 名古屋川河道変遷調査—参考編一科学技術省資源局資料, 第36号, 1961.
- 林泰造: 蛇行論, 水工学シリーズ70-16(特別叢書), 土木学会水理委員会, 1970年8月。

#### 附記:

本研究の遂行に当たっては、昭和48年度文部省科学研究費総合研究(研究代表者: 岸 力教授)の援助を受けた。記して謝意を表する。

